Responsable : KUDAWOO Ayaovi-Dzifa

Date : 15/09/2011 Page : 1/9
Clé : V3.03.503 Révision

ed5f0eb8af86

SSLS503 - Plaque stratifiée en flexion empilement antisymétrique simplement appuyée

Résumé:

Ce test représente un calcul quasi-statique d'une plaque stratifiée, en flexion empilement antisymétrique, simplement appuyée, soumise à une pression uniformément répartie.

Les 4 modélisations permettent de valider :

- les modélisations éléments finis DKT (QUAD4, TRIA3) et DST (QUAD4, TRIA3) dans le cas d'un matériau composite (3 couches d'orientation différentes),
- les contraintes de cisaillement transverse.

Les déplacements et les contraintes obtenues sont comparés à une solution de référence analytique.

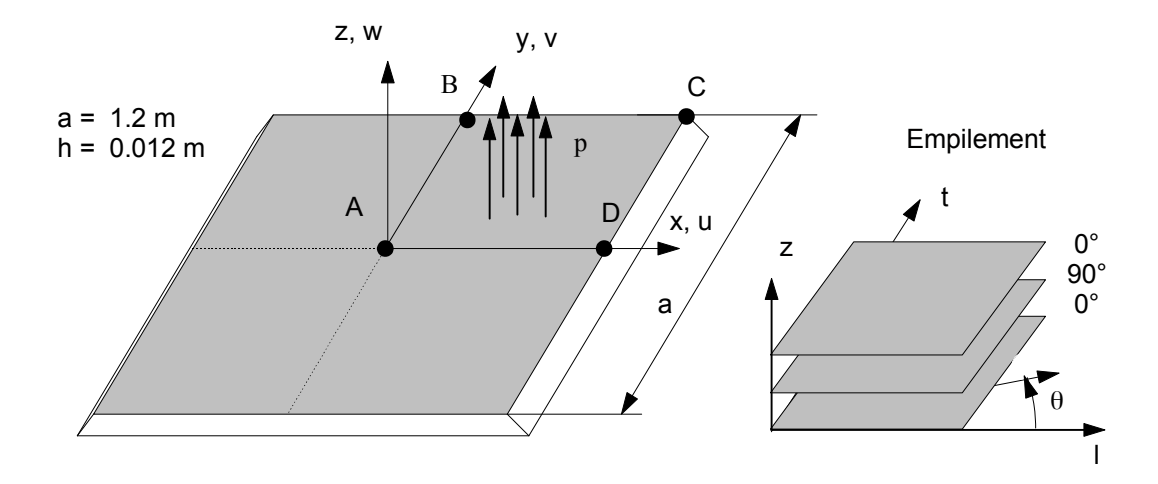
Responsable : KUDAWOO Ayaovi-Dzifa

Date : 15/09/2011 Page : 2/9 Clé : V3.03.503 Révision

ed5f0eb8af86

1 Problème de référence

1.1 Géométrie



1.2 Propriétés du matériau

Les propriétés du matériau constituant la plaque sont les suivantes:

Unidirectionnel ($\,U\,$):

$$E_{l} = 4.10^{10} Pa$$
 $E_{t} = 0.1610^{10} Pa$ $(l \Leftrightarrow x ; t \Leftrightarrow y)$
 $G_{lt} = G_{lz} = 8.10^{8} Pa$ $G_{tz} = 3.210^{8} Pa$
 $v_{lt} = 0.25$

Empilement:

Orientation : [0/90/0]
 Nature : [U/U/U]
 Épaisseur : [h/3/h/3/h/3]

1.3 Conditions aux limites et chargements

• La plaque est simplement appuyée sur son contour

• Pression uniformément répartie : p=3000 Pa

1.4 Conditions initiales

Sans objet

Responsable : KUDAWOO Ayaovi-Dzifa

Date: 15/09/2011 Page: 3/9 Clé: V3.03.503 Révision

ed5f0eb8af86

2 Solution de référence

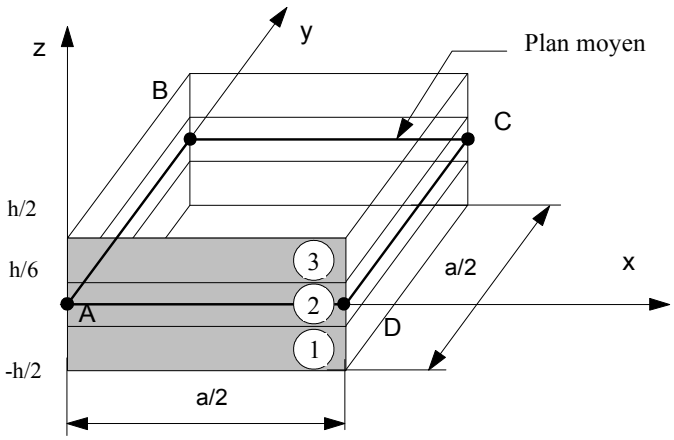
2.1 Méthode de calcul utilisée pour la solution de référence

Déplacement : solution analytique obtenue par décomposition en série de la forme :

$$w = \sum_{i} \sum_{j} w_{ij} \sin\left(\frac{i\pi x}{a}\right) \sin\left(\frac{j\pi y}{b}\right)$$

Contraintes: solution numérique [bib1], [bib2]

2.2 Résultats de référence



Les résultats de référence sont les suivants :

w(0,0,0)	0.01507 m	Déplacement w au centre de la plaque (point A
SIXX(0,0,h/2)	$2.421610^7 Pa$	Contrainte σ_{xx} sur la peau supérieure de la couche 3 ($z=h/2$) au centre de la plaque (point A),
$SIYY (0,0,h/6)$ couche à 90°	5.781010^6Pa	Contrainte σ_{yy} sur la peau supérieure de la couche 2 ($z=h/6$) au centre de la plaque (point A),
SIXY(a/2,a/2,h/2)	1.282510^6Pa	Contrainte σ_{xy} au point C sur la peau supérieure de la couche 3 ,
SIXZ(a/2,0,0)	2.352610^5Pa	Contrainte σ_{xz} au point D sur la peau moyenne de la couche 2 ($z=0$),
SIYZ(0,a/2,0)	8.895010^4Pa	Contrainte σ_{yz} au point B sur la peau moyenne de la couche 2 ($z=0$),

2.3 Incertitudes sur la solution

- La solution de référence est donnée pour un nombre de termes dans la série égal à 25.
- Le facteur de correction du cisaillement transverse utilisé est de 5/6.
- Avec un élancement important ($a/h\!=\!100$), le niveau de cisaillement transverse est faible et donc difficile à obtenir avec précision. Il existe alors une incertitude sur les valeurs de contrainte σ_{ij} calculées lors de la validation du test $V\!PC\!S$, les différences obtenues par les logiciels sur les composantes du cisaillement sont de l'ordre de 10%.

Date: 15/09/2011 Page: 4/9 Révision Responsable: KUDAWOO Ayaovi-Dzifa Clé: V3.03.503

ed5f0eb8af86

Références bibliographiques 2.4

- 1) VPCS : Progiciel de calcul de structures composites ; Exemples de validation. Revue des composites et des matériaux avancés, Volume 5 - numéro hors série/ 1995. Edition Hermes.
- PUTCHA, N.S. and REDDY, J.N.: A mixed shear flexible finite element for the analysis of laminated plates, computer meth. in applied mech. Eng. 44 (1984).

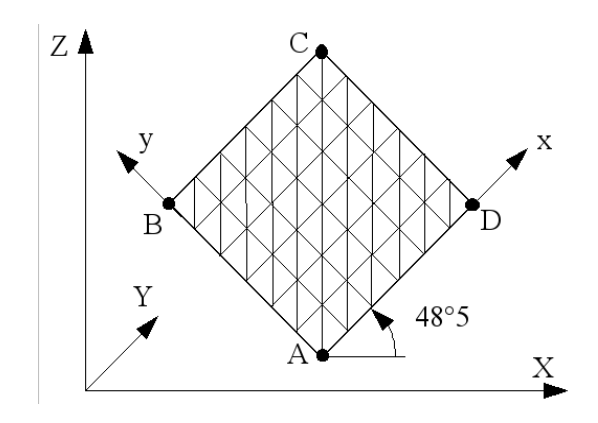
Responsable : KUDAWOO Ayaovi-Dzifa

Date: 15/09/2011 Page: 5/9 Clé: V3.03.503 Révision

ed5f0eb8af86

3 Modélisation A

3.1 Caractéristiques de la modélisation



Modélisation DKT (TRIA3)

- La plaque est située dans le plan Y=0.5
- Point A = (0.4; 0.5; 0.25)
- Conditions aux limites :
 - \circ Côté BC : v=0
 - \circ Côté CD : v=0
- Conditions de symétrie : (repère local)
 - \circ Côté AB : $u = \theta_v = 0$
 - \circ Côté AD : $v = \theta_r = 0$

3.2 Caractéristiques du maillage

Nombre de nœuds : 49

Nombre de mailles et types : 72 TRIA3

3.3 Grandeurs testées et résultats

Identification	Type de référence	Valeurs de référence	Tolérance (%)
w(0,0,0)	ANALYTIQUE	0.01507	1.1
SIXX(0,0,h/2)	SOURCE_EXTERNE	2.4216 10 ⁷	2.1
SIYY (0,0,h/6) couche à 90 °	SOURCE_EXTERNE	5.7810 10 ⁶	2.7
SIXY(a/2,a/2,h/2)	SOURCE_EXTERNE	1.2825 10 ⁶	4.6
SIXZ(a/2,0,0)	SOURCE_EXTERNE	–2.3526 10⁵	37
SIYZ(0,a/2,0)	SOURCE_EXTERNE	8.8950 104	3.1

3.4 Remarques

Les contraintes sont exprimées dans le repère d'orthotropie défini par ANGL_REP (AFFE_CARA_ELEM), et par la normale de l'élément.

Les composantes SIXX , SIYY et SIYZ sont les valeurs moyennes des deux mailles concourantes aux points A et C .

L'écart obtenu sur SIXZ est dû à la différence de modélisation du cisaillement transverse : dans la référence, on utilise un coefficient de correction de cisaillement transverse de 5/6. Dans $Code_Aster$, on calcule la répartition des cisaillements dans l'épaisseur, supposée parabolique dans chaque couche. Le signe de SIXZ est opposé à celui de la solution de référence.

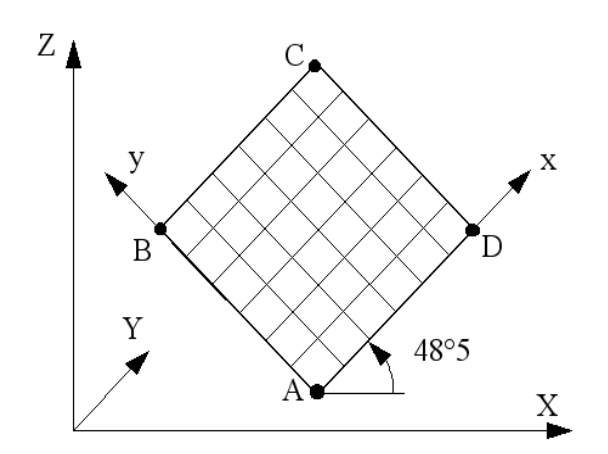
Responsable : KUDAWOO Ayaovi-Dzifa

Date : 15/09/2011 Page : 6/9 Clé : V3.03.503 Révision

ed5f0eb8af86

4 Modélisation B

4.1 Caractéristiques de la modélisation



Modélisation DKT (QUAD4)

- La plaque est située dans le plan Y = 0.5
- Point A = (0.4; 0.5; 0.25)
- · Conditions aux limites :
 - \circ Côté BC : v=0
 - \circ Côté CD : v=0
- Conditions de symétrie : (repère local)
 - \circ Côté AB : $u = \theta_v = 0$
 - \circ Côté AD : $v = \theta_x = 0$

4.2 Caractéristiques du maillage

Nombre de nœuds : 49

Nombre de mailles et types : 36 QUAD4

4.3 Grandeurs testées et résultats

Identification	Type de référence	Valeurs de référence	Tolérance (%)
w(0,0,0)	ANALYTIQUE	0.01507	1.1
SIXX(0,0,h/2)	SOURCE_EXTERNE	2.4216 10 ⁷	1.1
SIYY(0,0,h/6) couche à 90°	SOURCE_EXTERNE	5.7810 10 ⁶	1.1
SIXY(a/2,a/2,h/2)	SOURCE_EXTERNE	1.2825 10 ⁶	5.1
SIXZ(a/2,0,0)	SOURCE_EXTERNE	–2.3526 10⁵	16
SIYZ(0,a/2,0)	SOURCE_EXTERNE	8.8950 104	4.1

4.4 Remarques

Les composantes SIXX , SIYY et SIYZ sont les valeurs moyennes des deux mailles concourantes aux points A et C .

L'écart obtenu sur SIXZ est dû à la différence de modélisation du cisaillement transverse: dans la référence, on utilise un coefficient de correction de cisaillement transverse de 5/6. Dans $Code_Aster$, on calcule la répartition des cisaillements dans l'épaisseur, supposée parabolique dans chaque couche.

Le signe de SIXZ est opposé à celui de la solution de référence.

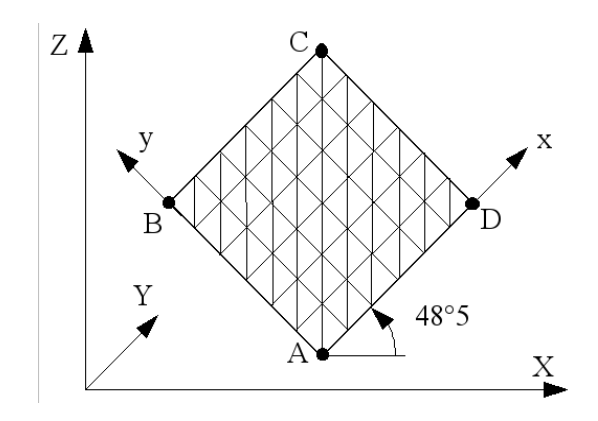
Responsable : KUDAWOO Ayaovi-Dzifa

Date: 15/09/2011 Page: 7/9 Clé: V3.03.503 Révision

ed5f0eb8af86

5 Modélisation C

5.1 Caractéristiques de la modélisation



Modélisation DST (TRIA3)

- La plaque est située dans le plan Y=0.5
- Point A = (0.4; 0.5; 0.25)
- · Conditions aux limites :
 - \circ Côté BC : v=0
 - \circ Côté CD : v=0
- Conditions de symétrie : (repère local)
 - \circ Côté AB : $u = \theta_v = 0$
 - \circ Côté AD : $v = \theta_{r} = 0$

5.2 Caractéristiques du maillage

Nombre de nœuds: 49

Nombre de mailles et types : 72 TRIA3

5.3 Grandeurs testées et résultats

Identification	Type de référence	Valeurs de référence	Tolérance $(\%)$
w(0,0,0)	ANALYTIQUE	0.01507	2.1
SIXX(0,0,h/2)	SOURCE_EXTERNE	2.4216 10 ⁷	7.1
SIYY(0,0,h/6) couche à 90 °	SOURCE_EXTERNE	5.7810 10 ⁶	24.
SIXY(a/2,a/2,h/2)	SOURCE_EXTERNE	1.2825 10 ⁶	4.1
SIXZ(a/2,0,0)	SOURCE_EXTERNE	–2.3526 10⁵	37
SIYZ(0,a/2,0)	SOURCE_EXTERNE	8.8950 104	26

5.4 Remarques

Les composantes SIXX , SIYY et SIYZ sont les valeurs moyennes des deux mailles concourantes aux points A et C .

L'écart obtenu sur SIXZ est dû à la différence de modélisation du cisaillement transverse : dans la référence, on utilise un coefficient de correction de cisaillement transverse de 5/6. Dans $Code_Aster$, on calcule la répartition des cisaillements dans l'épaisseur, supposée parabolique dans chaque couche. Le signe de SIXZ est opposé à celui de la solution de référence.

Les autres écarts sont probablement dus à l'anisotropie du maillage triangulaire.

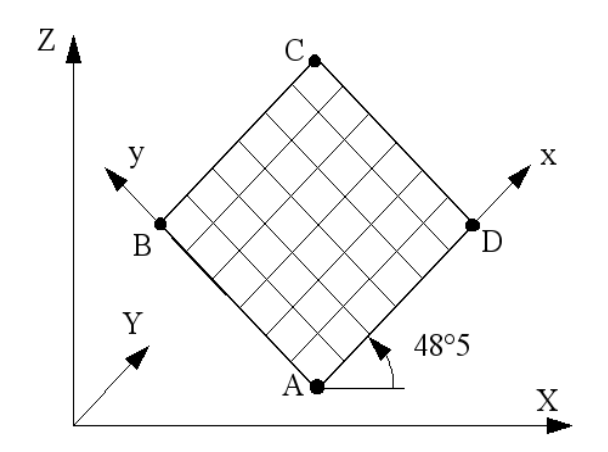
Responsable : KUDAWOO Ayaovi-Dzifa

Date : 15/09/2011 Page : 8/9 Clé : V3.03.503 Révision

ed5f0eb8af86

6 Modélisation D

6.1 Caractéristiques de la modélisation



Modélisation DST (QUAD4)

- La plaque est située dans le plan Y=0.5
- Point A = (0.4; 0.5; 0.25)
- · Conditions aux limites :
 - \circ Côté BC : v=0
 - \circ Côté CD : v=0
- Conditions de symétrie : (repère local)
 - \circ Côté AB : $u = \theta_v = 0$
 - \circ Côté AD : $v = \theta_x = 0$

6.2 Caractéristiques du maillage

Nombre de nœuds: 49

Nombre de mailles et types : 36 QUAD4

6.3 Grandeurs testées et résultats

Identification	Type de référence	Valeurs de référence	Tolérance (%)
w(0,0,0)	ANALYTIQUE	0.01507	1.1
SIXX(0,0,h/2)	SOURCE_EXTERNE	2.4216 10 ⁷	1.1
SIYY(0,0,h/6) couche à 90°	SOURCE_EXTERNE	5.7810 10 ⁶	1.1
SIXY(a/2,a/2,h/2)	SOURCE_EXTERNE	1.2825 10 ⁶	7.1
SIXZ(a/2,0,0)	SOURCE_EXTERNE	–2.3526 10⁵	15.
SIYZ(0,a/2,0)	SOURCE_EXTERNE	8.8950 104	2.1

6.4 Remarques

Les composantes SIXX , SIYY et SIYZ sont les valeurs moyennes des deux mailles concourantes aux points A et C .

L'écart obtenu sur SIXZ est dû à la différence de modélisation du cisaillement transverse : dans la référence, on utilise un coefficient de correction de cisaillement transverse de 5/6. Dans $Code_Aster$, on calcule la répartition des cisaillements dans l'épaisseur, supposée parabolique dans chaque couche. Le signe de SIXZ est opposé à celui de la solution de référence.

Responsable : KUDAWOO Ayaovi-Dzifa

Date: 15/09/2011 Page: 9/9 Clé: V3.03.503 Révision

ed5f0eb8af86

7 Synthèse des résultats

- <u>Déplacements</u> : quelque soit la modélisation utilisée (DKT ou DST) les résultats sont satisfaisants, l'erreur maximum est inférieure à 0.7%.
- Contraintes planes: les résultats sont plus précis avec la modélisation DKT, l'erreur est inférieure à 1% sauf pour SIXY (QUAD4) où l'erreur est de 5%. Pour la modélisation DST l'erreur est plus élevée (<8%) avec un écart important sur SIXX (28%) pour la maille TRIA3.
- <u>Cisaillement transverse</u>: quelque soit la modélisation utilisée (DKT ou DST) les résultats obtenus avec les maillages quadrangulaires sont plus proches de la solution de référence que ceux obtenus avec des maillages triangulaires. Dans le premier cas l'erreur sur la composante <u>SIXZ</u> est inférieure à 15%, et l'erreur sur <u>SIYZ</u> est inférieure à 3%, tandis que dans le deuxième cas, l'erreur sur <u>SIXZ</u> est de 35% et celle sur <u>SIYZ</u> est comprise entre 2% et 24%. Hormis la moins bonne précision des maillages triangulaires à cause de leur anisotropie, l'écart qui subsiste avec des maillages quadrangulaires est dû à la différence de modélisation du cisaillement transverse: dans la référence, on utilise un coefficient de correction de cisaillement transverse de 5/6. Dans Code_Aster, on calcule la répartition des cisaillements dans l'épaisseur, supposée parabolique dans chaque couche.